



Laboratorium EMVO Sp. J. Urbański, Pawelak  
ul. Jasna 1  
00-013 Warszawa

tel. +48 22 780 29 64  
e-mail: laboratorium@emvo.pl



AB 1630

## Sprawozdanie z pomiarów pól elektromagnetycznych - środowisko ogólne nr 54/12/OS/2020-P4-W



<b>Nr i nazwa stacji</b>	<b>LUB4480</b>	
<b>Adres</b>	<b>Lublin, Jakubowicka 7, pow. Lublin, woj. lubelskie</b>	
<b>Opracowanie</b>	<b>Patrycja Glander</b>	<b>Specjalista ds. pomiarów</b>
<b>Autoryzacja</b>	<b>Andrzej Urbański</b>	<b>Kierownik Laboratorium</b>
<b>Podpis</b>		
<b>Data</b>	<b>2020-12-16</b>	

## Spis treści

1. Informacje ogólne.....	3
2. Podstawa prawna.....	3
3. Opis pomiarów .....	4
4. Zróżnicowanie dopuszczalne poziomy pól elektromagnetycznych.....	5
5. Charakterystyka źródeł PEM. ....	5
6. Wyniki pomiarów.....	6
7. Stwierdzenie zgodności .....	7
8. Oświadczenie.....	8
9. Spis załączników. ....	8

## 1. Informacje ogólne.

Zleceniodawca	P4 sp. z o.o., ul. Wynałazek 1, 02-677 Warszawa osoba udzielająca informacji- Monika Bierozka
Istotne informacje dostarczone przez klienta	komplet informacji niezbędnych do wykonania pomiarów i opracowania sprawozdania
Dane otrzymane od klienta mogące mieć wpływ na ważność wyników	Dane anten sektorowych, dane anten radioliniowych, parametry pracy instalacji, poprawka pomiarowa, ustawienie pochylenia anten
Prowadzący instalację	P4 sp. z o.o., ul. Wynałazek 1, 02-677 Warszawa
Lokalizacja obiektu	Lublin, Jakubowicka 7, pow. Lublin, woj. lubelskie
Miejsce instalacji anten	Wieża kratowa
Miejsce instalacji urządzeń	Outdoor
Osoby wykonujące pomiar	Michał Snoch
Data wykonania pomiaru	16.12.2020
Temperatura na początku pomiaru [°C]	2,0
Temperatura na koniec pomiaru [°C]	4,0
Warunki atmosferyczne	Brak opadów
Wilgotność na początku pomiaru [%]	69,0
Wilgotność na koniec pomiaru [%]	68,0
Inne źródła pól elektromagnetycznych oznaczone na załączniku graficznym	Występują
Parametry pracy instalacji	Rzeczywisty

## 2. Podstawa prawna.

### 2.1 Normy i rozporządzenia:

- Rozporządzeniem Ministra Klimatu z dnia 17 lutego 2020 r. w sprawie sposobów sprawdzania dotrzymania dopuszczalnych poziomów pól elektromagnetycznych w środowisku (Dz.U. 2020 poz. 258)
- Rozporządzenie Ministra Zdrowia z dnia 17 grudnia 2019 r. w sprawie dopuszczalnych poziomów pól elektromagnetycznych w środowisku (Dz.U. 2019 poz. 2448)
- Obwieszczenie Marszałka Sejmu Rzeczypospolitej Polskiej z dnia 19 lipca 2019 r. w sprawie ogłoszenia jednolitego tekstu ustawy - Prawo ochrony środowiska (Dz.U. 2019 poz. 1396).

### 3. Opis pomiarów

Metodologia pomiarowa	Pomiary w oparciu o Rozporządzeniem Ministra Klimatu z dnia 17 lutego 2020 r. w sprawie sposobów sprawdzania dotrzymania dopuszczalnych poziomów pól elektromagnetycznych w środowisku (Dz.U. 2020 poz. 258),
Cel badań	Określenie wartości natężenia pola elektrycznego w miejscach dostępnych dla ludności.
Opis zestawu pomiarowego	Miernik Narda NBM 550, Sonda EF9091, o zakresie pomiarowym 0,8 V/m - 300V/m pracująca w paśmie 0,1 – 90 GHz, świadectwo wydane przez Laboratorium Wzorców i Metrologii Pola Elektromagnetycznego, Instytut Telekomunikacji, Teleinformatyki i Akustyki Politechniki Wrocławskiej. Świadectwo ważne do 27.03.2022r. Miernik Narda NBM 550, Sonda EF9091 pracująca w zakresie temperatury -10°C - +50°C oraz wilgotności 5% - 95%. Niepewność rozszerzona 59,0 % przy poziomie ufności 95% z uwzględnieniem współczynnika rozszerzenia k=2.
Wyposażenie pomocnicze	Termohigrometr Bestone, typ: GM1362-EN-00, nr identyfikacyjny 1222436, świadectwo wzorcowania z dn. 03.04.2017r. wydane przez Laboratorium Pomiarowe "MUTECH". Przymiar wstępowy STABILA, nr identyfikacyjny 5/WL/2016, świadectwo wzorcowania z dn. 06.09.2016 r. wydane przez Zespół Laboratoriów wzorcujących Okręgowego Urzędu Miar w Gdańsku. Dalmierz laserowy BOSH GLM 40, Świadectwo wzorcowania L4-L41.4180.141.2018.3061.1 z dnia 12 września 2018 wydane przez Pracownia Długości Samodzielnego Laboratorium Długości w Głównym Urzędzie Miar. GPS Garmin 64s okresowo sprawdzany w punktach osnowy geodezyjnej klasy 3 na podstawie licencji punktu, zgodnie z procedurą sprawdzeń okresowych IS/PO-16-11/03.
Pomiary zostały wykonane	<ol style="list-style-type: none"><li>1. na głównych i pomocniczych kierunkach pomiarowych, na kierunkach zbliżonych do azymutów anten oraz w dodatkowych pionach pomiarowych zgodnie z wymaganiami pkt 12, 13, 14 i 19 załącznika do rozporządzenia Ministra Klimatu z dnia 17 lutego 2020 r. (Dz. U. 2020, poz. 258),</li><li>2. na obszarze pomiarowym, dla którego, na podstawie uprzednio wykonanych obliczeń uzyskanych od zleceniodawcy, stwierdzono możliwość występowania pól elektromagnetycznych o poziomach zbliżonych do poziomów dopuszczalnych zgodnie z wymaganiami pkt 5 ppkt 2 oraz pkt 13 ppkt 1 załącznika do rozporządzenia Ministra Klimatu z dnia 17 lutego 2020 r. (Dz. U. 2020, poz. 258). Wyniki obliczeń nie uwzględniały parametrów pracy instalacji innych operatorów występujących na obiekcie bądź w obszarze pomiarowym.</li><li>3. w miejscach dostępnych dla ludności.</li><li>4. miejsca niedostępne podczas wykonywania pomiarów wskazane zostały w pkt 6 (tabeli wyniki pomiarów)</li><li>5. wyniki pomiarów uzyskane zostały przy uwzględnieniu poprawek pomiarowych przekazanych przez zleceniodawcę oraz przy rzeczywistych warunkach pracy instalacji innych operatorów (w przypadku występowania). W takiej sytuacji uwzględniono jednolitą poprawkę pomiarową wynoszącą 2,0</li></ol>
Szczególne warunki podczas wykonywania pomiarów	Pomiary wykonane zostały podczas obowiązywania w kraju stanu epidemii, zgodnie z art. 122a ust. 1b Ustawy z dnia 27 kwietnia 2001 r. – Prawo ochrony środowiska (Dz. U. z 2019 r. poz. 1396, z późn. zm.9))

„Bez pisemnej zgody Laboratorium niniejsze sprawozdanie nie może być powielane inaczej, jak tylko w całości. Ponadto wyniki dotyczą tylko badanych obiektów przywołanych w niniejszym sprawozdaniu z badań”

Warunki pracy urządzeń nadawczych

Podczas pomiarów zostały uwzględnione poprawki pomiarowe przekazane przez zleceniodawcę, umożliwiające uwzględnienie maksymalnych parametrów pracy instalacji zgodnie z pkt 7 załącznika do Rozporządzeniem Ministra Klimatu z dnia 17 lutego 2020 r. w sprawie sposobów sprawdzania dotrzymania dopuszczalnych poziomów pól elektromagnetycznych w środowisku (Dz. U. 2020, poz. 258).

#### 4. Zróżnicowanie dopuszczalne poziomy pól elektromagnetycznych.

Zakresy znajdują się w Dzienniku Ustaw z dnia 17 grudnia 2019 r. przedstawione są w tabeli nr 2 (Dz. U. z 2019r. poz. 2448).

Parametr fizyczny	Składowa elektryczna E (V/m)	Składowa magnetyczna H (A/m)	Gęstość mocy S (W/m <sup>2</sup> )
Zakres Częstotliwości pola elektromagnetycznego			
od 400 MHz do 2000 MHz	$1,375 \times f^{0,5}$	$0,0037 \times f^{0,5}$	$f / 200$
od 2 GHz do 300 GHz	61	0,16	10

#### 5. Charakterystyka źródeł PEM.

Zgodnie z informacją otrzymaną od klienta pomiary zostały wykonane przy ustawieniach pochylecia anten zgodnych z pkt. 13, ppkt 2 załącznika do rozporządzenia Ministra Klimatu z dnia 17 lutego 2020 roku.

Tabela 1. Anteny sektorowe - dane otrzymane od klienta

Charakterystyka promieniowania		kierunkowa											
Rzeczywisty czas pracy [h/dobę]		24											
Rodzaj wytwarzanego pola		stacjonarne											
L p	Wyszczególnienie	sektor 1						sektor 2					
I	Nadajnik stacji bazowej:												
1	Typ / Producent	DBS / Huawei											
2	Częstotliwość (pasmo) MHz	900	800	2600	2100	1800	2100	1800	1800	900	2100	800	2600
3	Maksymalna moc nadawana na sektor [dBm]	46,02	46,02	52,04	49,03	49,03	49,03	49,03	50,79	44,8	50	46,02	52,04
II	Obciążenie:												
1	Typ anteny	Huawei A794517R0	Huawei A794517R0	Huawei ADU4521R0	Kathrein 742213	Kathrein 742213	Kathrein 80010772	Kathrein 80010772	Kathrein 80010772	Huawei ADU4521R0			
2	Producent anteny	Huawei	Huawei	Huawei	Kathrein	Kathrein	Kathrein	Kathrein	Kathrein	Huawei			
3	Ilość anten	1	1	1	1	1	1	1	1	1			
4	Azymut	60						150					
5	Zakres kątów pochylecia anten [°]	0-10	0-10	0-6	0-6	0-6	0-6	0-6	0-6	0-8	0-6	0-8	0-6
6	Wysokość zainst. n.p.t. [m]	40,40	40,40	40,70	40,70	40,70	40,70	40,70	40,50	40,50	40,50	40,70	
7	EIRP [W]	2122	1904	19734	11985	11985	11985	8983	8983	8188	8188	19734	

Charakterystyka promieniowania		kierunkowa										
Rzeczywisty czas pracy [h/dobę]		24										
Rodzaj wytwarzanego pola		stacjonarne										
Lp	Wyszczególnienie	sektor 3					sektor 4					
I	Nadajnik stacji bazowej:											
1	Typ / Producent	DBS / Huawei										
2	Częstotliwość (pasmo) MHz	2600	800	2100	1800	900	800	1800	900	2600	2100	
3	Maksymalna moc nadawana na sektor [dBm]	51,61	43,01	49,03	49,03	44,8	46,02	50,79	44,8	52,04	49,03	
II	Obciążenie:											
1	Typ anteny	Huawei ATR4518R6		Huawei ATR4518R6			Huawei A794517R0		Kathrein 80010772		Huawei ADU4521R0	Kathrein 742213
2	Producent anteny	Huawei		Huawei			Huawei		Kathrein		Huawei	Kathrein
3	Ilość anten	1		1			1		1		1	1
4	Azymut	240					330					
5	Zakres kątów pochylenia anten [°]	0-10					0-10	0-6	0-8	0-6	0-6	
6	Wysokość zainst. n.p.t. [m]	40,70					40,40	40,50		40,70	40,70	
7	EIRP [W]	9956		9748			1904	8983		19734	6310	

Tabela 2. Anteny radioliniowe - dane otrzymane od klienta

Charakterystyka promieniowania		kierunkowa					
Rzeczywisty czas pracy [h/dobę]		24					
Rodzaj wytwarzanego pola		stacjonarne					
Lp	Linia radiowa			Antena			
	typ/producent	częstotliwość pracy [GHz]	moc wyjściowa [dBm]	typ/producent	średnica anteny [m]	azymut [°]	wysokość zainstal. [m]
1	OPTIX RTN/HUAWEI	80	18	VHLP2-80/Andrew	0,6	214	38,00

## 6. Wyniki pomiarów.

Wyniki pomiarów pól elektromagnetycznych dla celów ochrony środowiska przedstawia poniższa tabela. Piony pomiarowe zostały przedstawione w zał. 2.

Nr PP	Pole-E [V/m]	Pole-E *KE+U [V/m]	Pole-H [A/m]	Pole-H *KE+U [A/m]	Wys. pomiaru [m]	Opis pionu	Uwagi	WM <sub>E</sub>	WM <sub>H</sub>
1	0,9	2,86	0,002	0,008	1,1	N:51°15'54,3" E:22°37'48,9"	otoczenie stacji bazowej - 100m wzdłuż gł. osi promieniowania - GKP	0,074	0,073
2	<0,8*	<2,54	<0,002	<0,007	0,3-2,0	N:51°15'54,9" E:22°37'51,1"	otoczenie stacji bazowej - 150m wzdłuż gł. osi promieniowania - GKP	<0,065	<0,064
3	0,9	2,86	0,002	0,008	1,0	N:51°15'55,7" E:22°37'53,7"	otoczenie stacji bazowej - 200m wzdłuż gł. osi promieniowania - GKP	0,074	0,073
4	<0,8*	<2,54	<0,002	<0,007	0,3-2,0	N:51°15'56,4" E:22°37'55,7"	otoczenie stacji bazowej - 250m wzdłuż gł. osi promieniowania - GKP	<0,065	<0,064
5	1,1	3,50	0,003	0,009	1,1	N:51°15'57,2" E:22°37'57,9"	otoczenie stacji bazowej - 300m wzdłuż gł. osi promieniowania - GKP	0,090	0,089
6	0,9	2,86	0,002	0,008	1,1	N:51°15'58,0" E:22°38'00,2"	otoczenie stacji bazowej - 350m wzdłuż gł. osi promieniowania - GKP	0,074	0,073
7	0,9	2,86	0,002	0,008	1,2	N:51°15'58,7" E:22°38'02,7"	otoczenie stacji bazowej - 407m wzdłuż gł. osi promieniowania - GKP	0,074	0,073
8	1,1	3,50	0,003	0,009	1,1	N:51°15'50,6" E:22°37'45,8"	otoczenie stacji bazowej - 70m wzdłuż gł. osi promieniowania - GKP	0,090	0,089
9	<0,8*	<2,54	<0,002	<0,007	0,3-2,0	N:51°15'47,8" E:22°37'48,1"	otoczenie stacji bazowej - 170m wzdłuż gł. osi promieniowania - GKP	<0,065	<0,064
10	0,9	2,86	0,002	0,008	1,1	N:51°15'45,5" E:22°37'50,1"	otoczenie stacji bazowej - 250m wzdłuż gł. osi promieniowania - GKP	0,074	0,073
11	0,9	2,86	0,002	0,008	1,1	N:51°15'44,0" E:22°37'51,1"	otoczenie stacji bazowej - 300m wzdłuż gł. osi promieniowania - GKP	0,074	0,073

„Bez pisemnej zgody Laboratorium niniejsze sprawozdanie nie może być powielane inaczej, jak tylko w całości. Ponadto wyniki dotyczą tylko badanych obiektów przywołanych w niniejszym sprawozdaniu z badań”

12	<0,8*	<2,54	<0,002	<0,007	0,3-2,0	N:51°15'42,6" E:22°37'52,5"	otoczenie stacji bazowej - 350m wzdłuż gł. osi promieniowania - GKP	<0,065	<0,064
13	<0,8*	<2,54	<0,002	<0,007	0,3-2,0	N:51°15'41,5" E:22°37'53,3"	otoczenie stacji bazowej - 407m wzdłuż gł. osi promieniowania - GKP	<0,065	<0,064
14	0,9	2,86	0,002	0,008	1,0	N:51°15'52,1" E:22°37'41,8"	otoczenie stacji bazowej - 50m wzdłuż gł. osi promieniowania - GKP	0,074	0,073
15	0,9	2,86	0,002	0,008	1,1	N:51°15'51,3" E:22°37'39,5"	otoczenie stacji bazowej - 100m wzdłuż gł. osi promieniowania - GKP	0,074	0,073
16	<0,8*	<2,54	<0,002	<0,007	0,3-2,0	N:51°15'50,6" E:22°37'37,5"	otoczenie stacji bazowej - 150m wzdłuż gł. osi promieniowania - GKP	<0,065	<0,064
17	0,8	2,54	0,002	0,007	1,1	N:51°15'49,7" E:22°37'34,8"	otoczenie stacji bazowej - 200m wzdłuż gł. osi promieniowania - GKP	0,065	0,064
18	1,4	4,45	0,004	0,012	1,1	N:51°15'49,1" E:22°37'32,5"	otoczenie stacji bazowej - 250m wzdłuż gł. osi promieniowania - GKP	0,114	0,113
19	<0,8*	<2,54	<0,002	<0,007	0,3-2,0	N:51°15'47,6" E:22°37'28,3"	otoczenie stacji bazowej - 350m wzdłuż gł. osi promieniowania - GKP	<0,065	<0,064
20	<0,8*	<2,54	<0,002	<0,007	0,3-2,0	N:51°15'46,8" E:22°37'25,6"	otoczenie stacji bazowej - 407m wzdłuż gł. osi promieniowania - GKP	<0,065	<0,064
21	0,9	2,86	0,002	0,008	1,1	N:51°15'51,8" E:22°37'43,3"	otoczenie stacji bazowej - 50m wzdłuż gł. osi promieniowania - GKP	0,074	0,073
22	<0,8*	<2,54	<0,002	<0,007	0,3-2,0	N:51°15'50,0" E:22°37'41,9"	otoczenie stacji bazowej - 100m wzdłuż gł. osi promieniowania - GKP	<0,065	<0,064
23	1,4	4,45	0,004	0,012	1,0	N:51°15'53,4" E:22°37'47,0"	otoczenie stacji bazowej - GKP	0,114	0,113
24	1,3	4,13	0,003	0,011	0,9	N:51°15'53,0" E:22°37'47,6"	otoczenie stacji bazowej - GKP	0,106	0,105
25	<0,8*	<2,54	<0,002	<0,007	0,3-2,0	N:51°15'49,0" E:22°37'49,9"	otoczenie stacji bazowej - GKP	<0,065	<0,064
26	0,9	2,86	0,002	0,008	1,1	N:51°15'51,2" E:22°37'44,2"	otoczenie stacji bazowej – PKP	0,074	0,073
A	1,1	3,50	0,003	0,009	1,0	Turystyczna 132, pomiar przed wejściem – DPP		0,090	0,089
B	1,1	3,50	0,003	0,009	1,1	Jakubowicka 9, pomiar przed wejściem – DPP		0,090	0,089
C	1,3	4,13	0,003	0,011	1,1	Turystyczna 134d, pomiar przed wejściem – DPP		0,106	0,105
D	1,4	4,45	0,004	0,012	1,1	Turystyczna 134d, pomiar przed wejściem – DPP		0,114	0,113
E	<0,8*	<2,54	<0,002	<0,007	0,3-2,0	Turystyczna 132b, pomiar przed wejściem – DPP		<0,065	<0,064
F	0,9	2,86	0,002	0,008	1,1	Turystyczna 130a, pomiar przed wejściem – DPP		0,074	0,073
G	<0,8*	<2,54	<0,002	<0,007	0,3-2,0	Turystyczna 130, pomiar przy furtce – DPP		<0,065	<0,064
H	<0,8*	<2,54	<0,002	<0,007	0,3-2,0	Turystyczna 55, pomiar przed wejściem – DPP		<0,065	<0,064
I	<0,8*	<2,54	<0,002	<0,007	0,3-2,0	Jakubowicka 1b, pomiar przed bramie – DPP		<0,065	<0,064
J	<0,8*	<2,54	<0,002	<0,007	0,3-2,0	Kasprowicza 112, pomiar przed wejściem – DPP		<0,065	<0,064
X						Brak dostępu – Teren oczyszczalni			

\* poniżej czułości zestawu pomiarowego

GKP - główne kierunki pomiarowe

PKP - pomocnicze kierunki pomiarowe

DPP- dodatkowe punkty pomiarowe

PP – pion pomiarowy

U - niepewność pomiarowa rozszerzona, przy poziomie ufności 95%, z uwzględnieniem współczynnika rozszerzenia k=2

kE – poprawka pomiarowa badanej instalacji radiokomunikacyjnej podana przez operatora (kE=1,65), poprawka pomiarowa w przypadku oddziaływania innych instalacji radiokomunikacyjnych na badany obszar (kE=2,0)

WM<sub>E</sub> - wartość wskaźnikowa poziomu emisji pól elektromagnetycznych dla miejsc dostępnych dla ludności dla składowej elektrycznej pola

WM<sub>H</sub> - wartość wskaźnikowa poziomu emisji pól elektromagnetycznych dla miejsc dostępnych dla ludności dla składowej magnetycznej pola.

Przyjęto najniższą dopuszczalną wartość składowej elektrycznej pola dla objętego pomiarami zakresu częstotliwości min(ME<sub>gr</sub>)= 38,8 V/m oraz składowej magnetycznej min(MH<sub>gr</sub>)= 0,105 A/m.

Wynik pomiaru pole - E [V/m] - maksymalna wartość chwilowa zmierzona w danych pionie pomiarowym.

## **7. Stwierdzenie zgodności**

Na podstawie wytycznych podanych w Rozporządzeniu Ministra Zdrowia z dnia 17 grudnia 2019 r. w sprawie dopuszczalnych poziomów pól elektromagnetycznych w środowisku (Dz.U. 2019 poz. 2448) oraz sposobów sprawdzania dotrzymania tych poziomów zgodnie z Rozporządzeniem Ministra Klimatu z dnia 17 lutego 2020 r. w sprawie sposobów sprawdzania dotrzymania dopuszczalnych poziomów pól elektromagnetycznych w środowisku (Dz.U. 2020 poz. 258) dotyczących źródła wymagań, które muszą być spełnione (załącznik do rozporządzenia Ministra Klimatu z dnia 17 lutego 2020 r. (poz. 258)), w oparciu o zasadę podejmowania decyzji zgodną z pkt 26 załącznika do rozporządzenia Ministra Klimatu z dnia 17 lutego 2020 r. (poz. 258), na podstawie wyników pomiarów pól elektromagnetycznych wykonanych w dniu 16.12.2020 stwierdzono, iż w miejscach dostępnych dla ludności, dopuszczalne poziomy pól elektromagnetycznych w środowisku, określone w przepisach wydanych na podstawie art. 122 ust. 1 ustawy z dnia 27 kwietnia 2001 r. – Prawo ochrony środowiska, uznaje się za dotrzymane w obszarze pomiarowym, w którym w wyniku zastosowania sposobu sprawdzenia dotrzymania dopuszczalnych poziomów pól elektromagnetycznych w środowisku udokumentowano, że żadna z wartości wskaźnikowych nie przekracza wartości 1.

## **8. Oświadczenie.**

Wyniki badania odnoszą się wyłącznie do badanego obiektu.

Bez pisemnej zgody sprawozdanie nie może być powielane inaczej, jak tylko w całości.

Uwagi i zastrzeżenia przyjmowane są w formie pisemnej w ciągu 14 dni od daty otrzymania sprawozdania.

## **9. Spis załączników.**

Zał. 1. Lokalizacja obiektu.

Zał. 2. Widok pionów pomiarowych

Zał. 3. Załączniki graficzne

**Koniec sprawozdania**

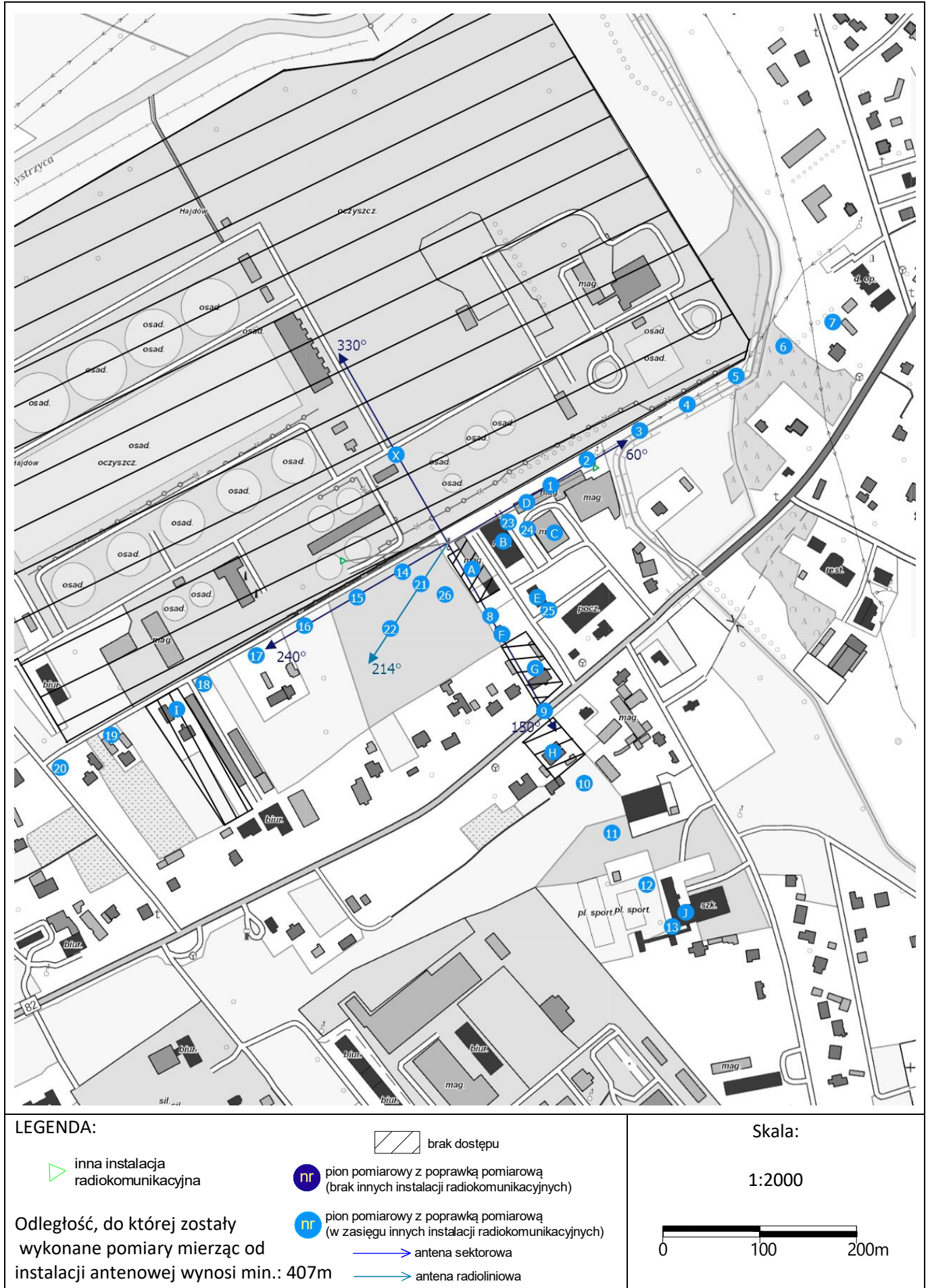


## Załącznik 1. Lokalizacja obiektu



Współrzędne geograficzne	
długość:	51°15'52.92"N
szerokość:	22°37'44.08"E

## Zał. 2. Widok pionów pomiarowych



„Bez pisemnej zgody Laboratorium niniejsze sprawozdanie nie może być powielane inaczej, jak tylko w całości. Ponadto wyniki dotyczą tylko badanych obiektów przywołanych w niniejszym sprawozdaniu z badań”

Załącznik 3. Załączniki graficzne.

